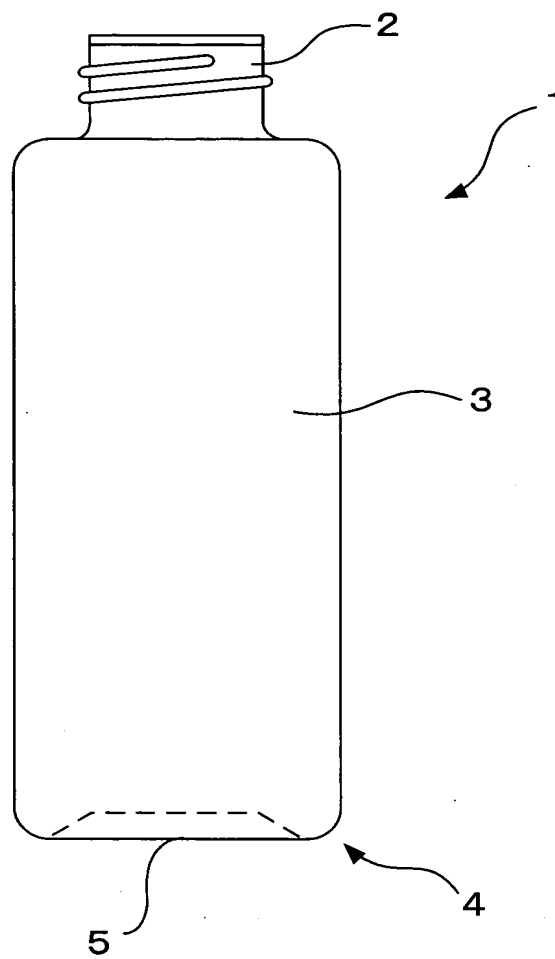
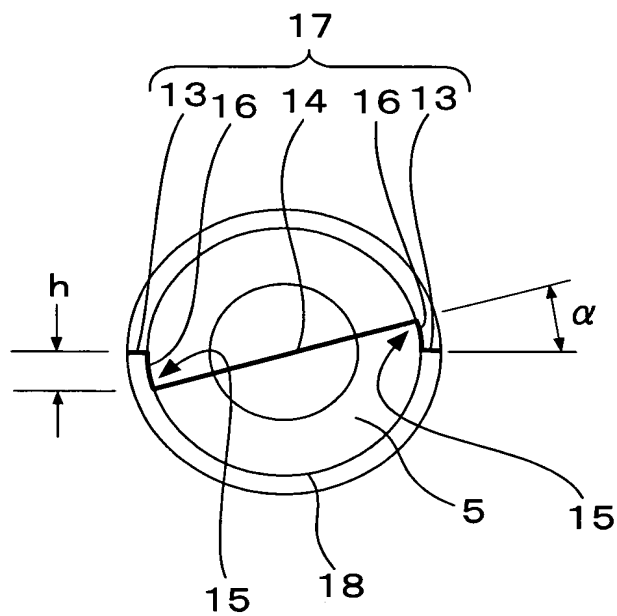


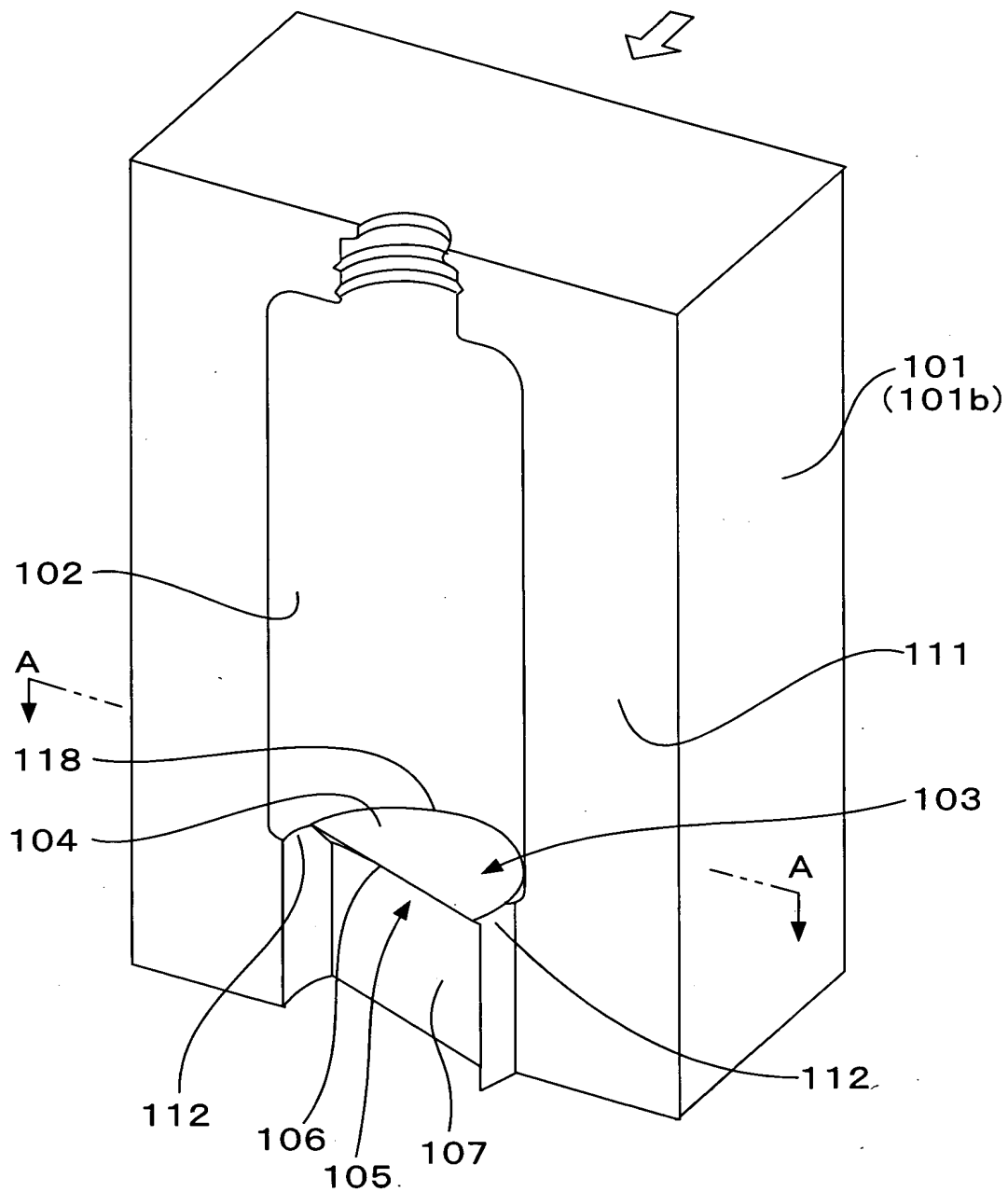
1/27
Fig. 1



2/27
Fig. 2



3/27
Fig. 3



4/27

Fig. 4

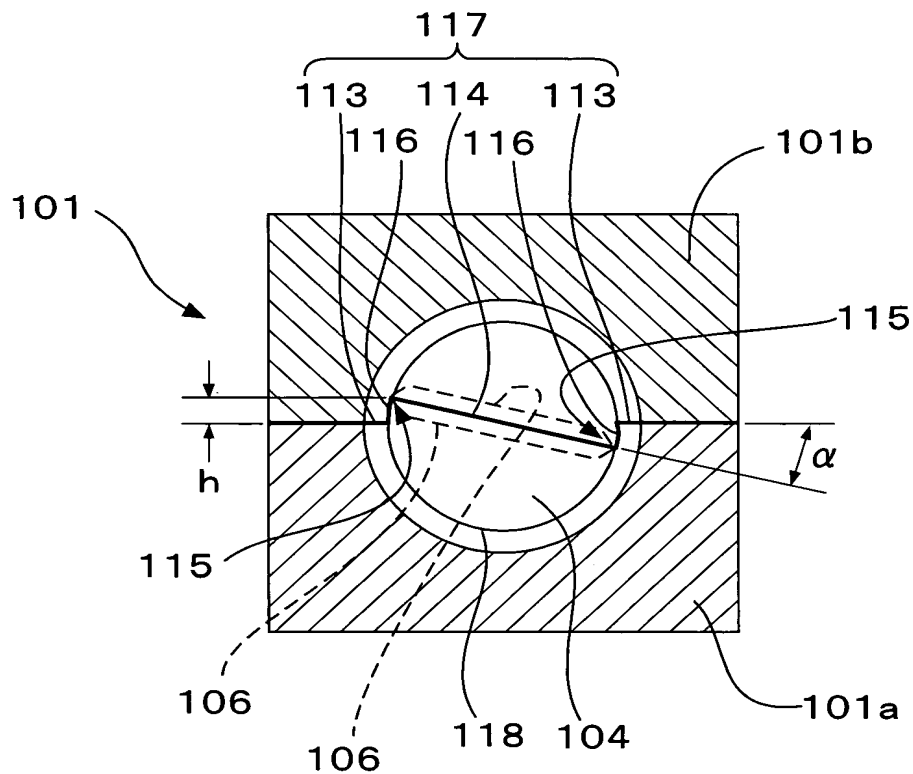
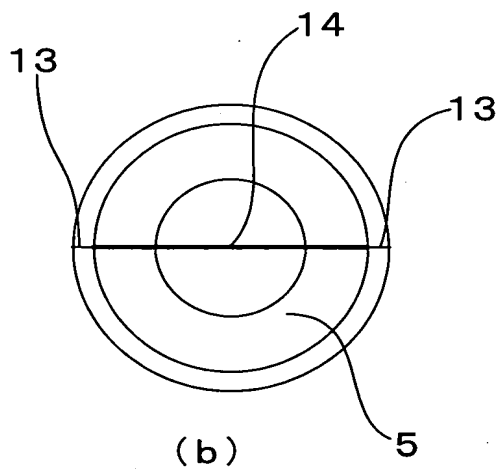
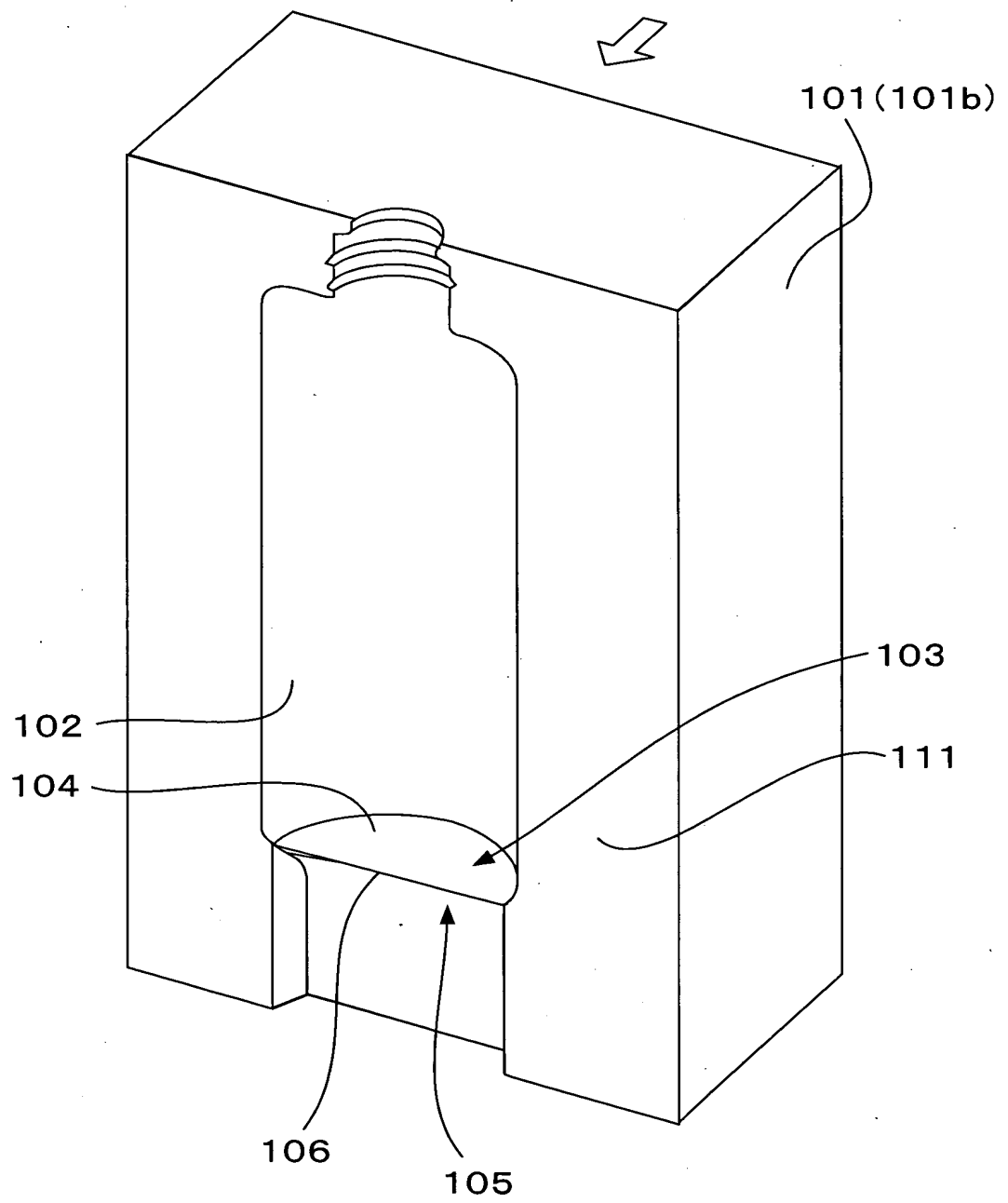


Fig. 6

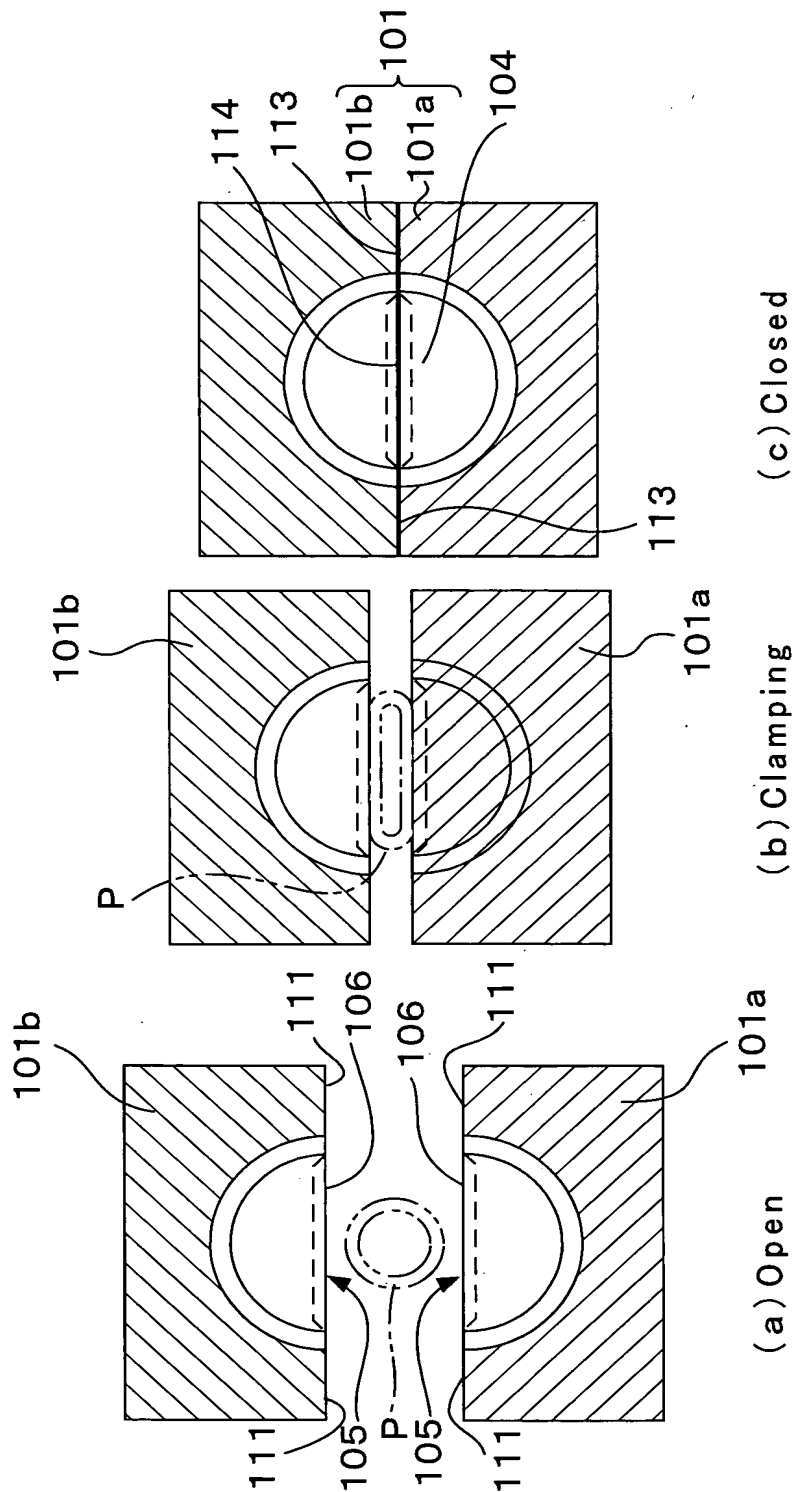


7/27
Fig. 7

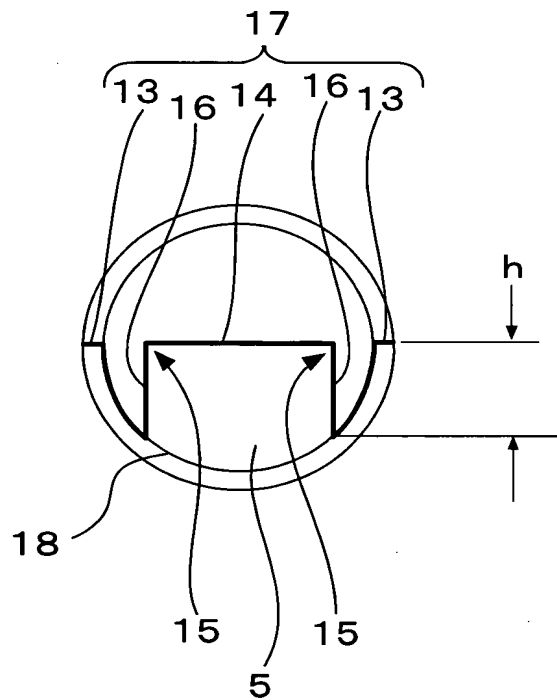


8/27

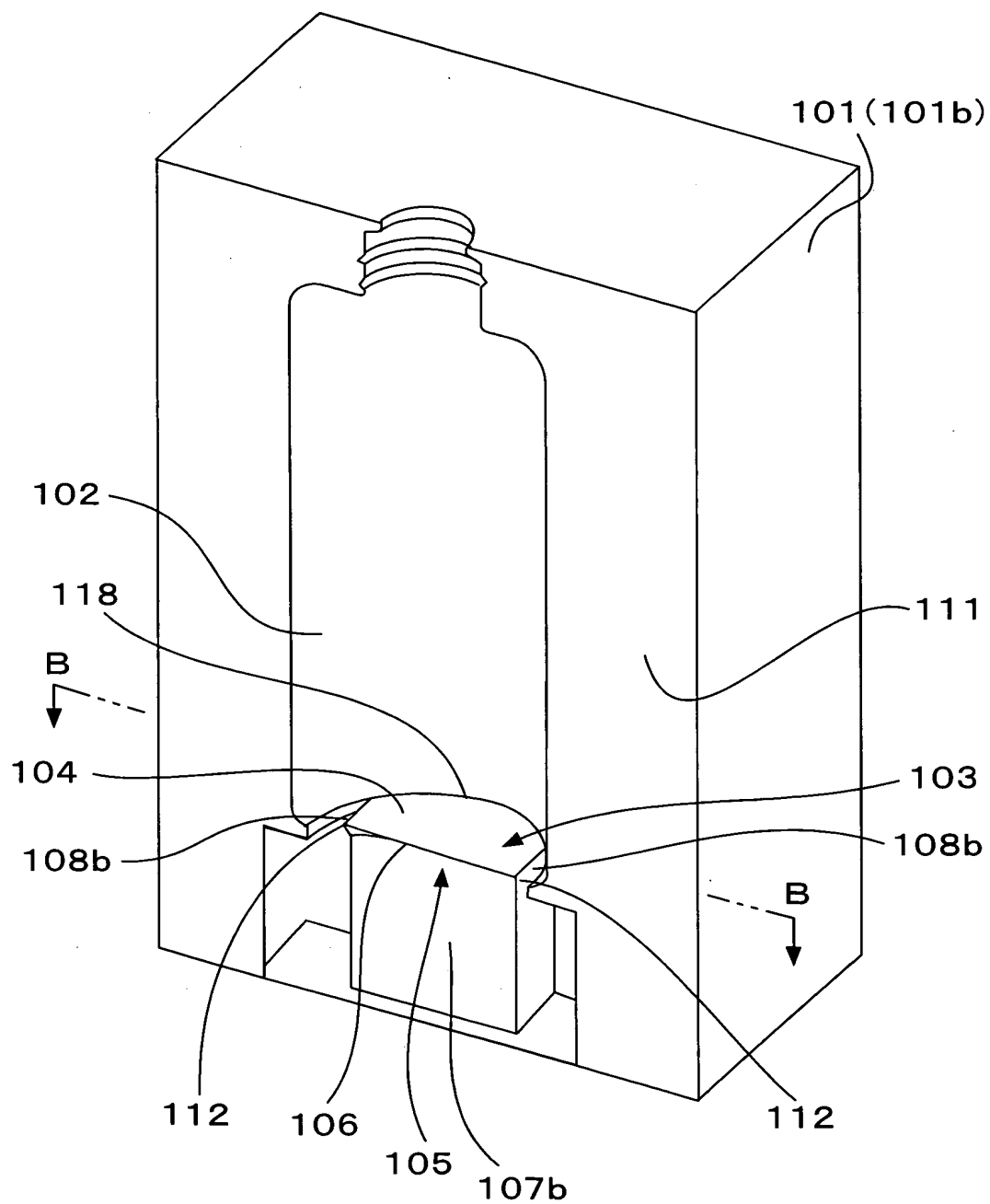
Fig. 8



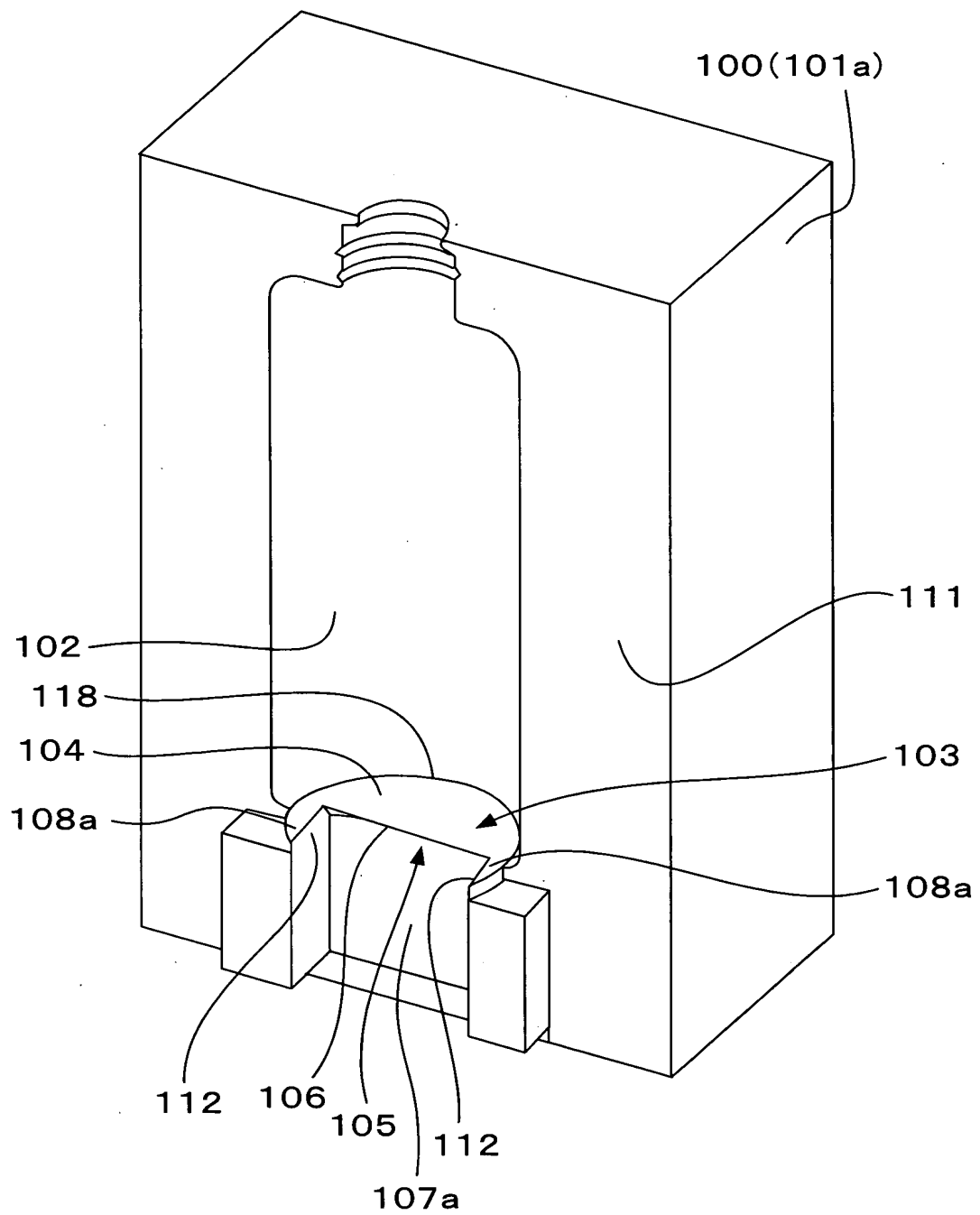
9/27
Fig. 9



10/27
Fig. 10

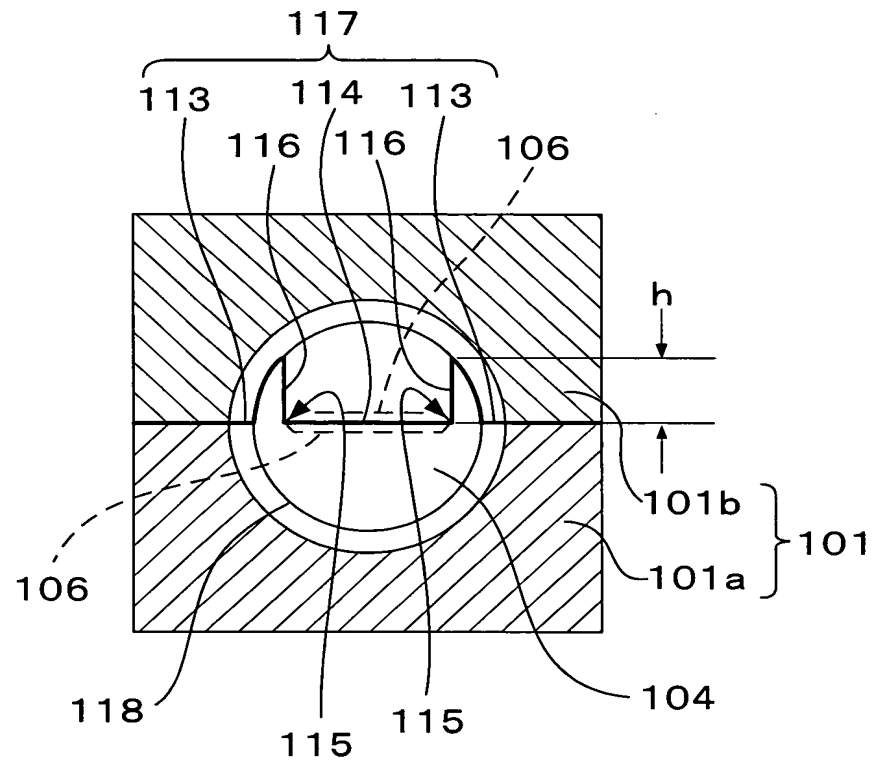


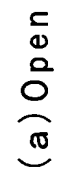
11/27
Fig. 11



12/27

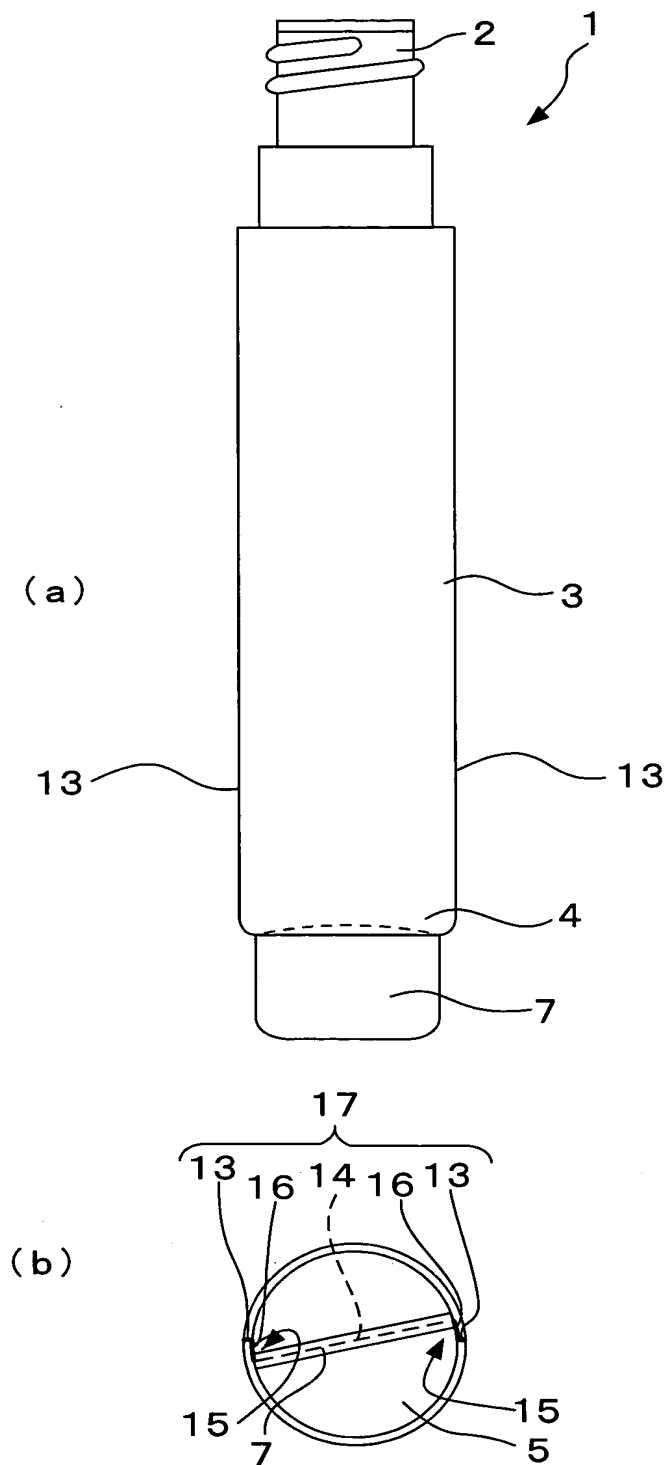
Fig. 12



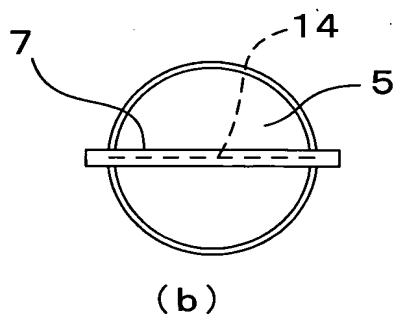
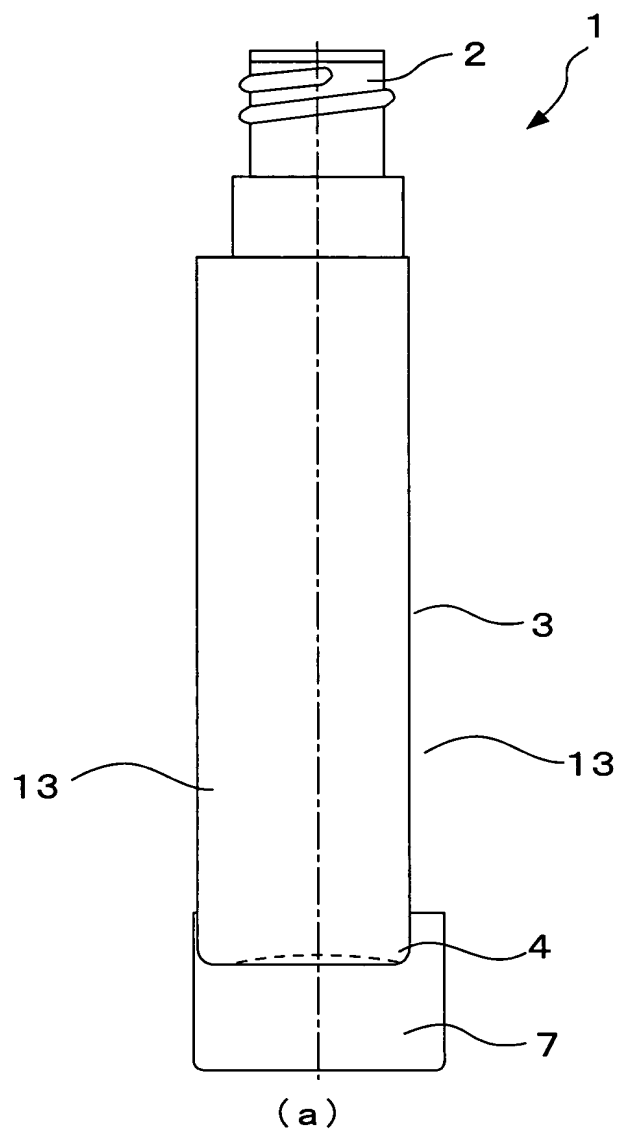


14/27

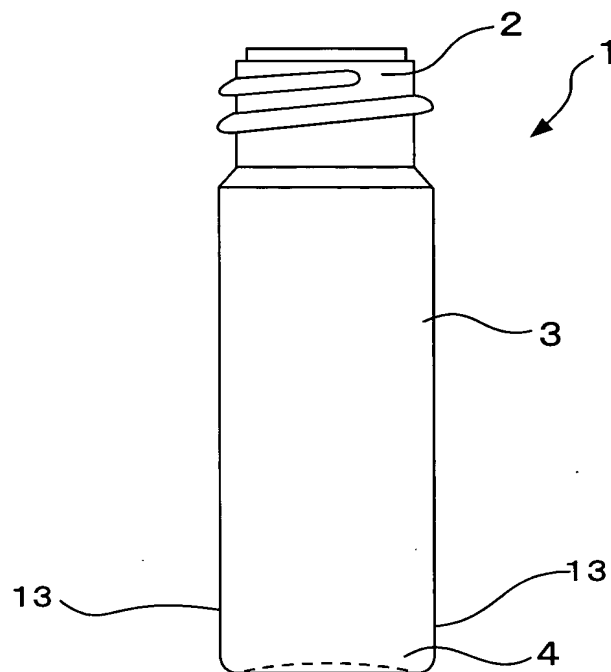
Fig. 14



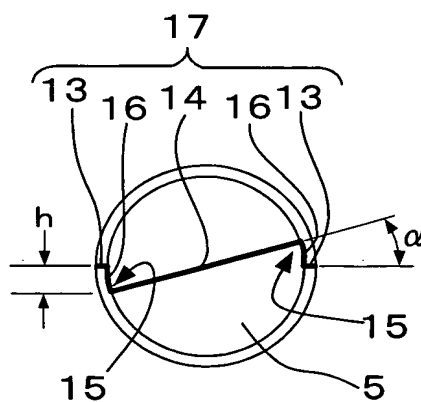
15/27
Fig. 15



16/27
Fig. 16

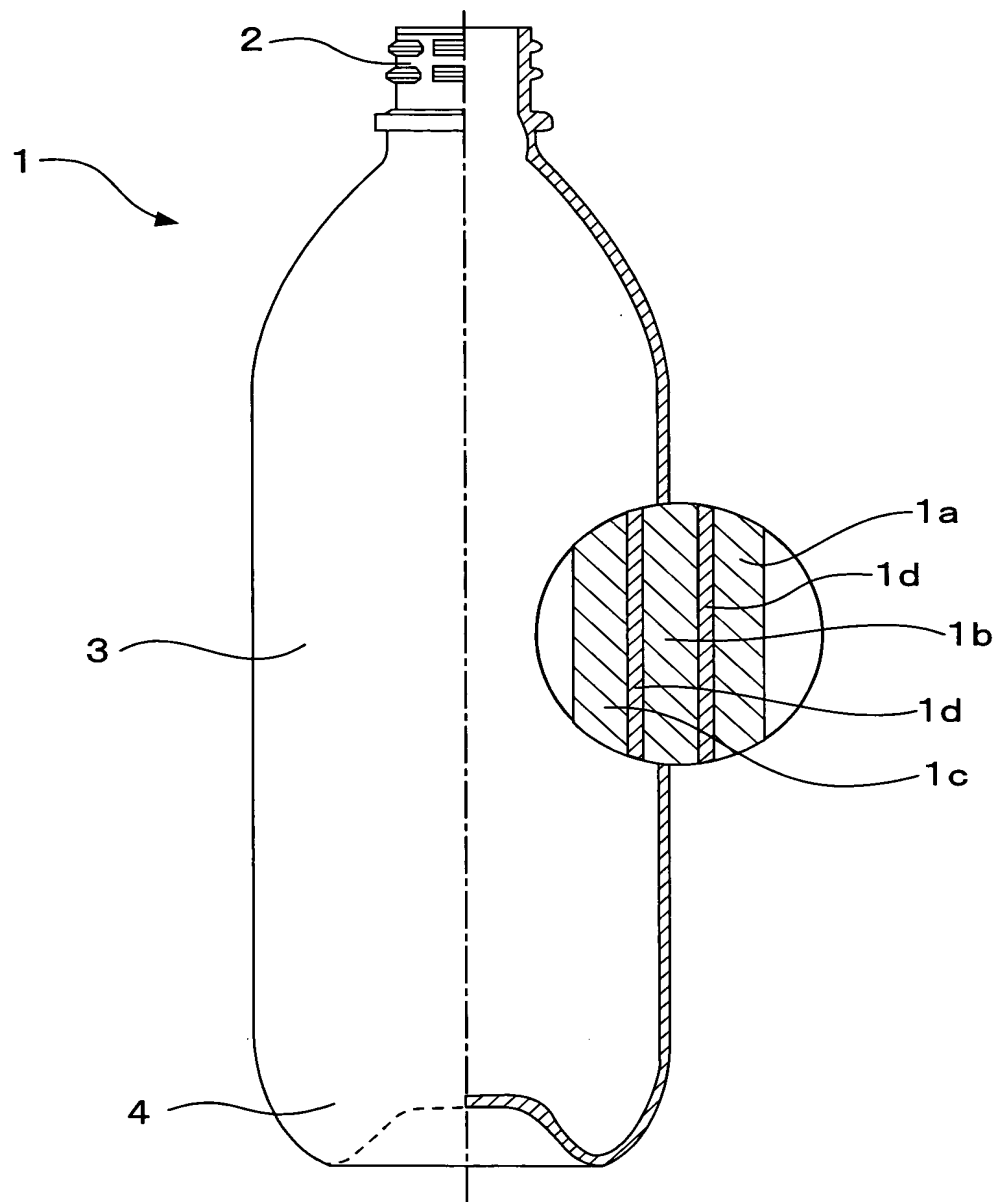


(a)

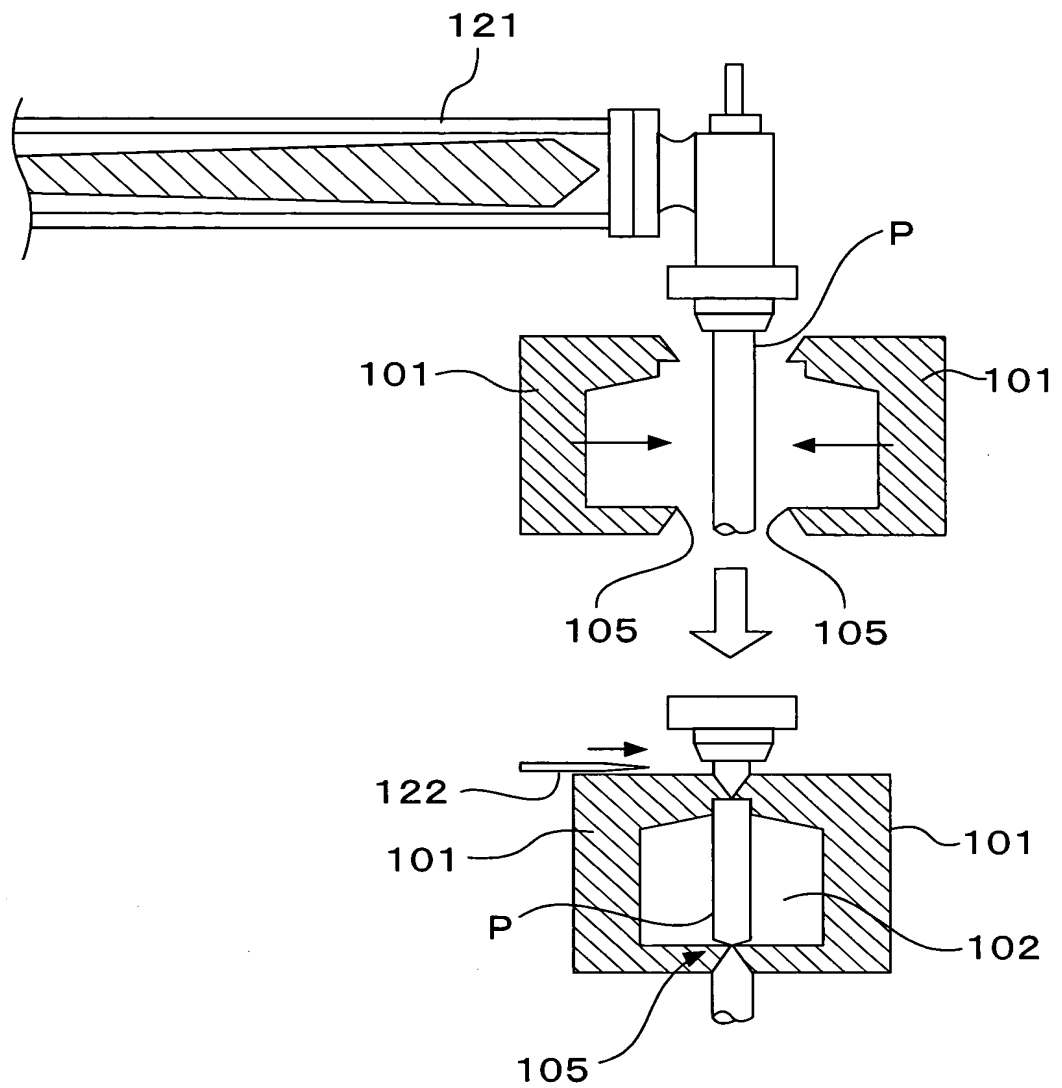


(b)

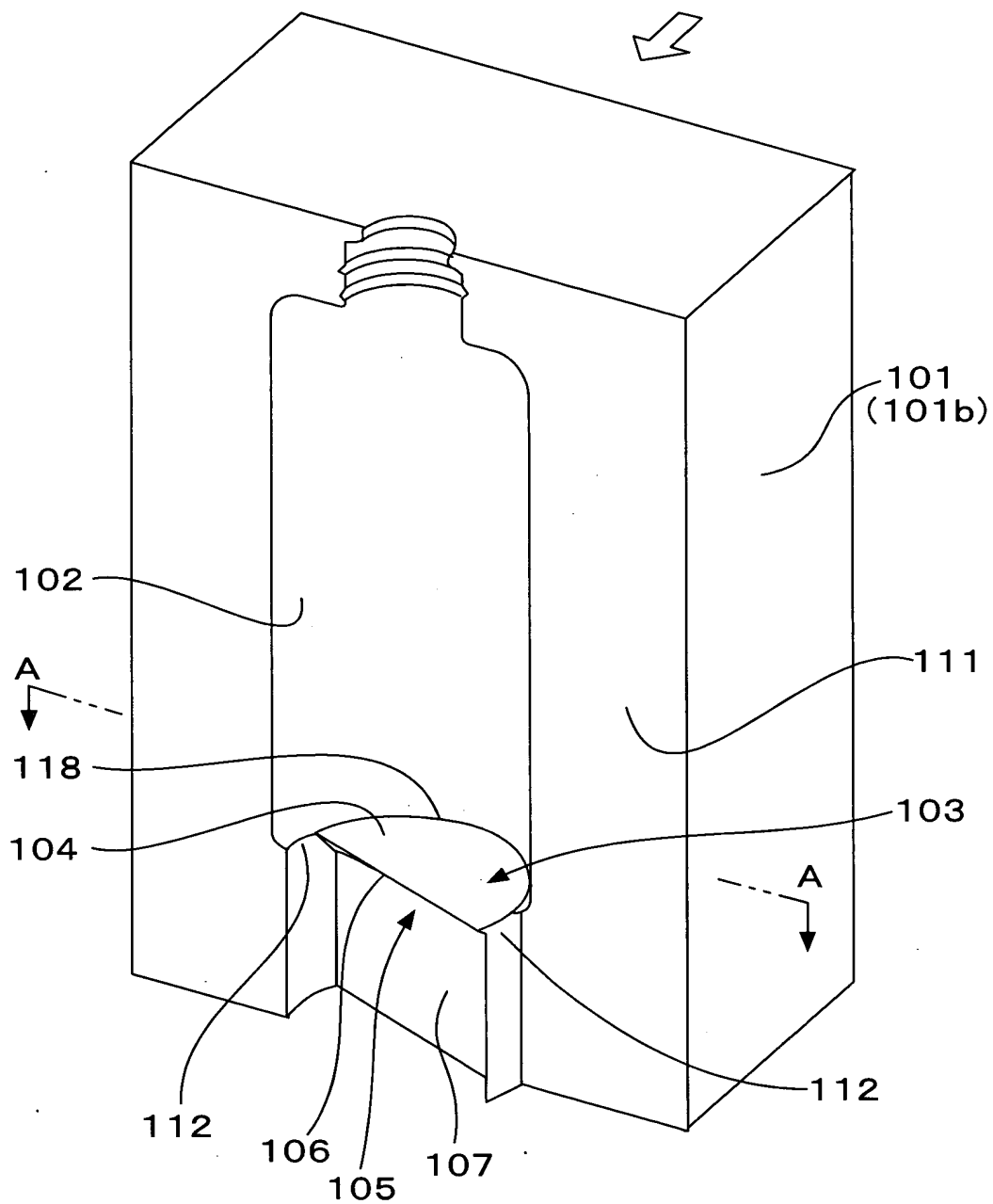
19/27
Fig. 19



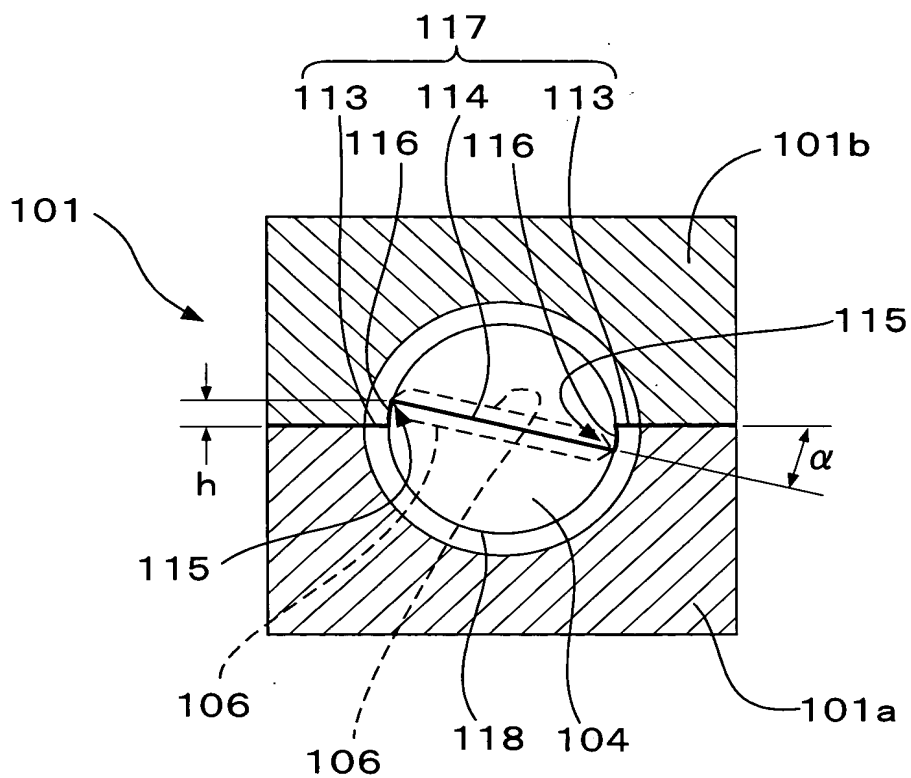
20/27
Fig. 20

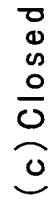


21/27
Fig. 21



22/27
Fig. 22

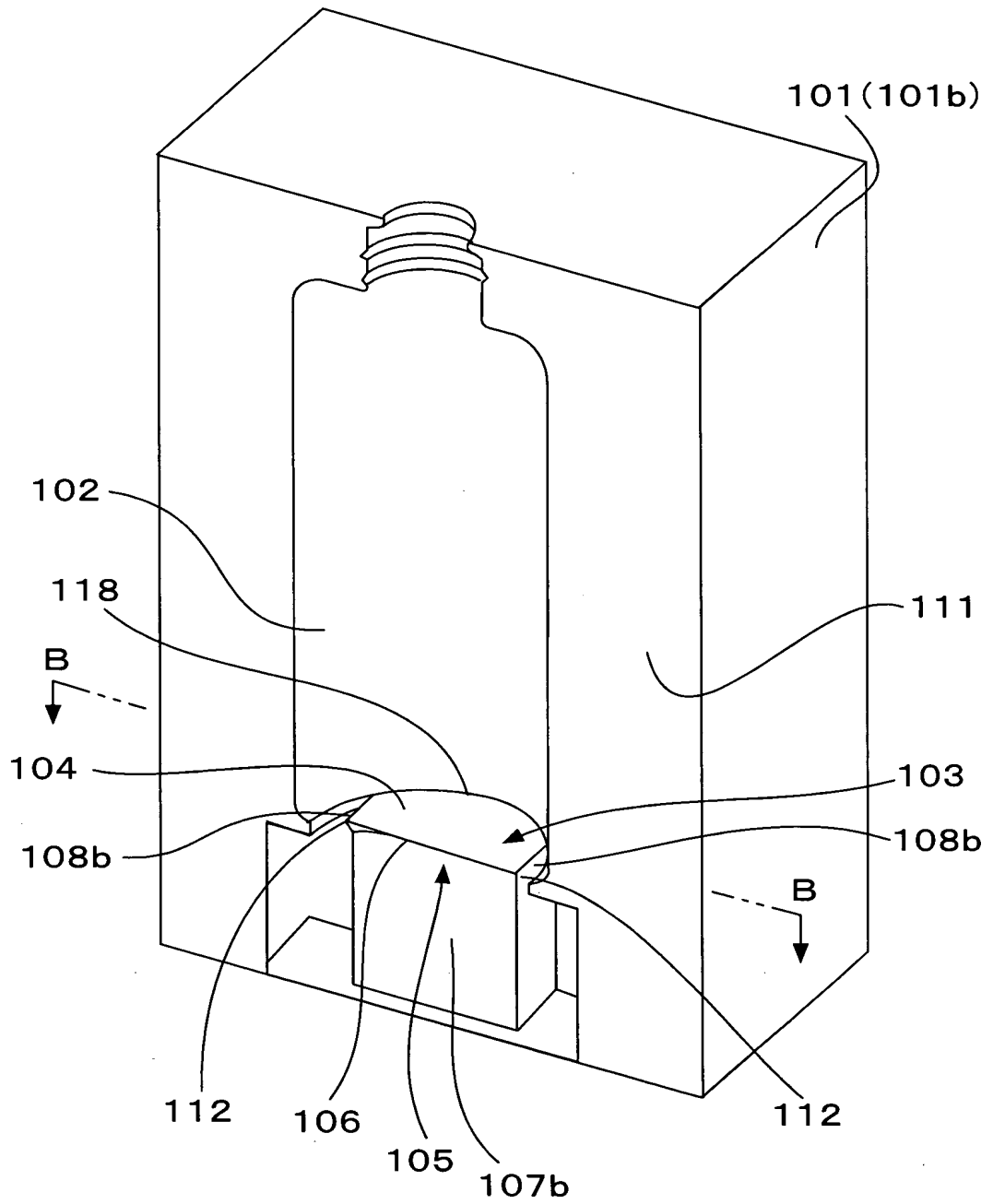




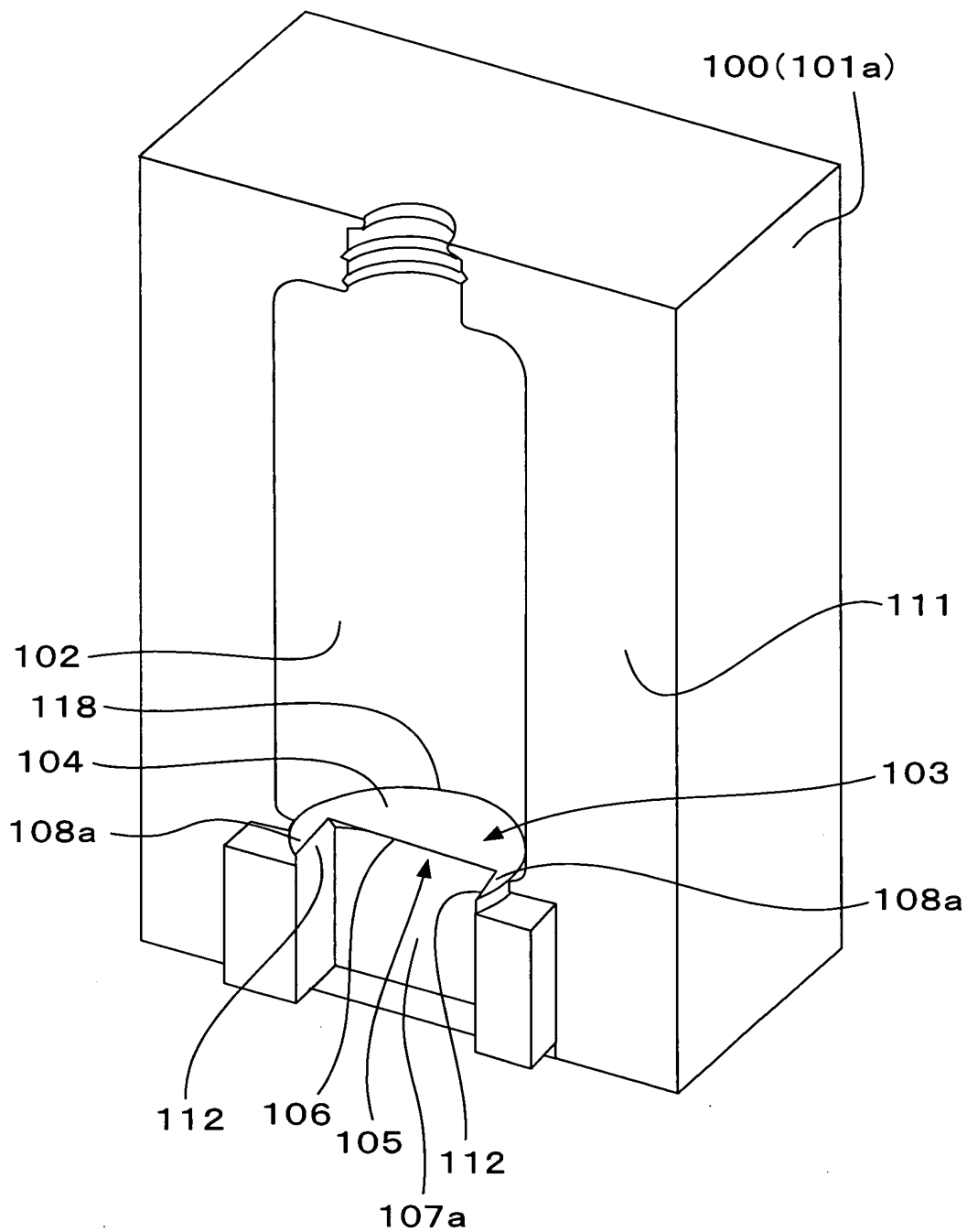
(b) Claming

(a) Open

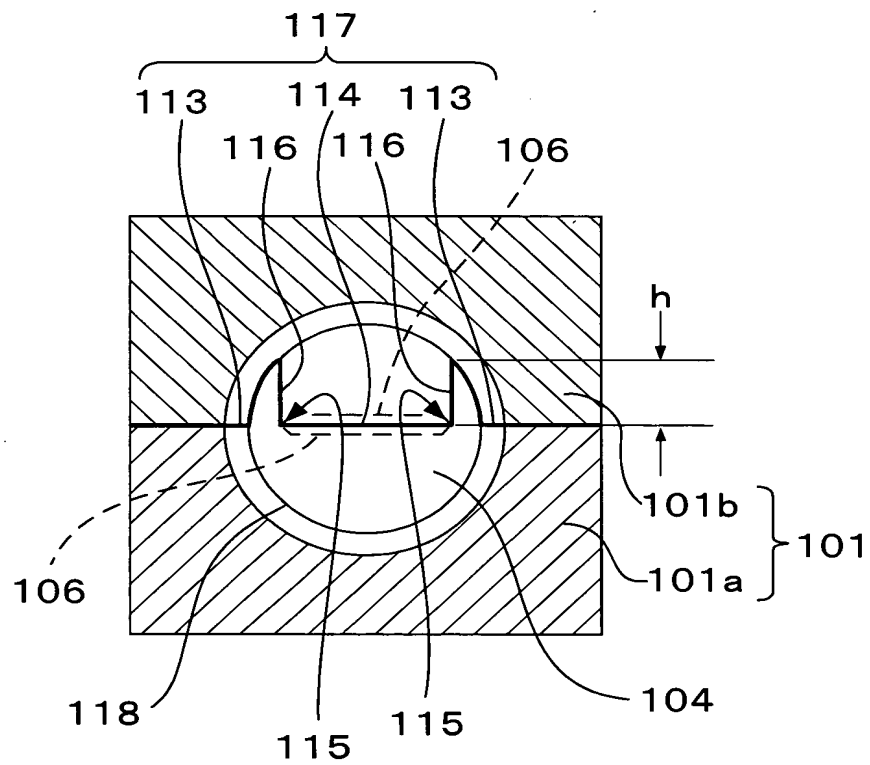
24/27
Fig. 24



25/27
Fig. 25

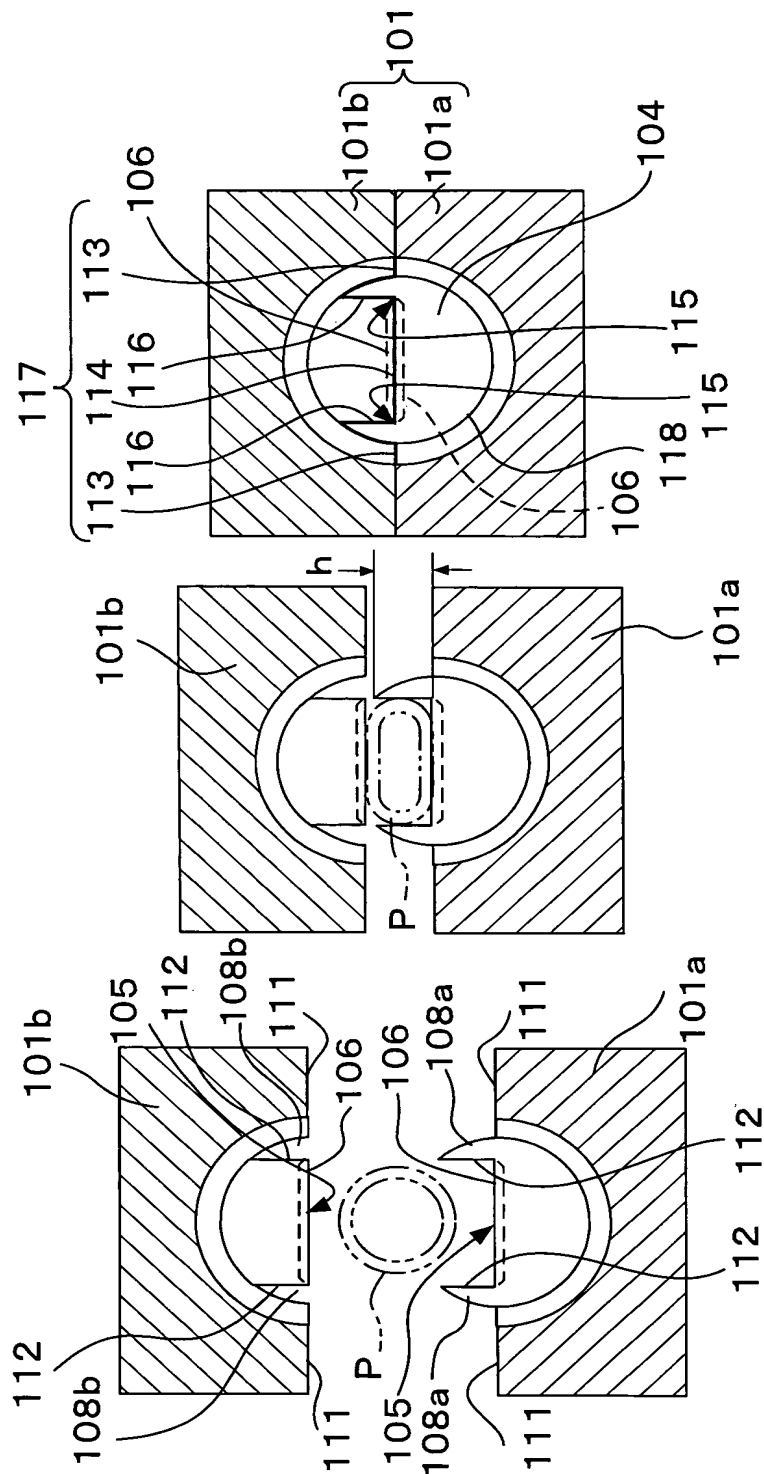


26/27
Fig. 26



27/27

Fig. 27



(c) Closed

(b) Clamping

(a) Open